

## ارزیابی مدل‌های پیش‌بینی خطر زمین لغزش در حوضه چم‌سنگر

دریافت مقاله: ۹۲/۶/۱۴ پذیرش نهایی: ۹۶/۱/۱۴

صفحات: ۴۵-۶۴

سیامک بهاروند: استادیار گروه زمین‌شناسی، واحد خرم‌آباد، دانشگاه آزاد اسلامی، خرم‌آباد، ایران<sup>۱</sup>

Email: sbbaharvand53@gmail.com

سلمان سوری: کارشناس ارشد زمین‌شناسی، باشگاه پژوهشگران جوان و نخبگان، واحد خرم‌آباد، دانشگاه آزاد

اسلامی، خرم‌آباد، ایران

Email: soorisalman@yahoo.com

### چکیده

پهنه بندی زمین لغزش یکی از روش‌هایی است که می‌توان به کمک آن مناطق بحرانی را به لحاظ پایداری شیب مشخص کرده و از نقشه‌های پهنه بندی به دست آمده در برنامه‌ریزی‌های توسعه پایدار استفاده کرد. هدف از این مطالعه مقایسه مدل‌های تهیه نقشه خطر زمین لغزش؛ منطق فازی، ارزش اطلاعاتی و تراکم سطح مورد استفاده در حوضه چم‌سنگر در ۴۰ کیلومتری جنوب شرق خرم‌آباد لرستان بوده، به منظور بررسی پایداری دامنه‌ها در حوضه چم‌سنگر ابتدا با استفاده از تصاویر گوگل ارث و بازدیدهای میدانی (ثبت نقاط لغزشی با استفاده از GPS) نقاط لغزشی شناسایی و متعاقب آن نقشه پراکنش زمین لغزش‌های حوضه تهیه گردیده در این مطالعه، عوامل مرتبط با زمین لغزش مانند شیب، جهت شیب، ارتفاع، زمین‌شناسی، بارندگی، کاربری اراضی، فاصله از جاده و آبراهه در تجزیه و تحلیل لغزش مورد استفاده قرار گرفت. برای ارزیابی و طبقه‌بندی نتایج خروجی مدل‌های مورد استفاده در برآورد خطر لغزش منطقه از شاخص جمع مطلوبیت (QS) استفاده شد، نتایج بدست آمده نشان داد که مدل تراکم سطح، با مقدار  $QS = 1/85$  روش کار آمدتری نسبت به مدل‌های ارزش اطلاعاتی با  $QS = 1/60$  و منطق فازی با  $QS = 0/554$ ، برای تهیه نقشه خطر لغزش‌های حوضه چم‌سنگر دارد. بر اساس پهنه‌بندی صورت گرفته با استفاده از مدل تراکم سطح به ترتیب  $36/31$ ،  $44/78$ ،  $16/62$ ،  $1/65$ ،  $0/63$  درصد از مساحت منطقه در کلاس‌های خطر خیلی کم، کم، متوسط، زیاد و خیلی زیاد قرار گرفت.

کلیدواژگان: زمین لغزش، پهنه‌بندی، حوضه چم‌سنگر، لرستان، مدل تراکم سطح

<sup>۱</sup> نویسنده مسئول: لرستان، خرم‌آباد، دانشگاه آزاد اسلامی، گروه زمین‌شناسی

## مقدمه

یکی از بلايا و حوادث طبیعی که زیان‌ها و خسارات زیادی به دنبال داشته و افزون بر آن ممکن است تلفات انسانی نیز به همراه داشته باشد، حرکات دامنه‌ای و به ویژه زمین لغزش می‌باشد (رنجبر و روغنی، ۱۳۸۸: ۲۲). این پدیده طبیعی می‌تواند باعث تخریب و یا خسارت به انواع سازه‌های مهندسی و ساخت‌های بشری از جمله مناطق مسکونی، شریان‌های حیاتی مانند راه‌ها، لوله‌های انتقال گاز، آب، خطوط انتقال نیرو، جنگل‌ها و مراتع، زمین‌های کشاورزی و معادن شود. افزون بر این، اثرات اجتماعی و زیست محیطی ناشی از وقوع این پدیده، مانند اثرهای سوء اجتماعی و افزایش بار رسوبی رودخانه‌ها را نیز نباید نادیده گرفت (سوری و همکاران، ۱۳۹۰: ۱۲۷۰).

ارزیابی ناپایداری‌های دامنه‌ای مانند بسیاری از موضوعات زمین‌شناسی محیطی یکی از پیچیده‌ترین مسائل است که به دلیل تنوع عوامل موثر در وقوع ناپایداری دامنه‌هاست. وجود عدم قطعیت که ناشی از گنگ بودن، ناکامل بودن و مبهم بودن شرایط و مفاهیم مرتبط با پارامترهایی نظیر زمین‌شناسی، تکتونیک، بارندگی، هیدرولوژیکی و ... در بروز ناپایداری دامنه‌ای، می‌باشند لزوم استفاده از روش‌های دقیق و مناسب را در بررسی ناپایداری‌های دامنه‌ای، منطقی می‌کند (فاطمی عقدا و همکاران، ۱۳۸۴: ۴۴).

تشخیص و پهنه بندی مناطق مختلف از نظر حساسیت به وقوع زمین لغزش یکی از مهم‌ترین و ضروری‌ترین اقدامات جهت دوری جستن یا کاهش صدمات زمین لغزش است که از دیرباز مورد توجه محققین بوده است. در زمینه پهنه بندی خطر زمین لغزش با استفاده از مدل‌های استفاده شده تاکنون مطالعات زیادی در ایران و سایر نقاط جهان صورت گرفته است که از آن جمله می‌توان به مطالعات زیر اشاره کرد.

فرهادی نژاد و همکاران (۱۳۸۹) به ارزیابی مدل‌های پیش‌بینی خطر زمین لغزش در زیر حوضه سرخاب پرداختند. نتایج به دست آمده از این مطالعه نشان داد که پارامترهای لیتولوژی، شیب، فاصله از گسل و کاربری اراضی از مهم‌ترین عوامل کنترل کننده وقوع زمین لغزش‌ها می‌باشند، همچنین بر اساس نتایج به دست آمده مدل ارزش اطلاعاتی از نتایج قابل قبول‌تری نسبت به سایر مدل‌های استفاده شده برخوردار بوده است؛ شادفر و همکاران (۱۳۹۰) به ارزیابی مدل‌های پهنه‌بندی تراکم سطح، ارزش اطلاعاتی و LNRFR در حوضه چالکروود پرداختند. بر اساس نتایج به دست آمده مدل تراکم سطح از کارایی بهتری برخوردار بوده است و بر اساس نقشه تهیه شده با استفاده از این مدل حدود ۷۹ درصد از مساحت منطقه در پهنه خطر بالا قرار دارد؛ بهاروند و سوری (۱۳۹۴) با استفاده از مدل‌های منطق فازی و تراکم سطح به

پهنه‌بندی خطر زمین‌لغزش در حوضه کاکاشرف پرداختند. در این تحقیق که با استفاده از عوامل شیب، جهت‌شیب، ارتفاع، کاربری اراضی، لیتولوژی، فاصله از جاده و آبراه صورت گرفته است نتایج نشان داد که مدل منطق‌فازی از کارایی بالاتری در پهنه‌بندی خطر زمین‌لغزش‌های حوضه مورد مطالعه برخوردار است؛ لی و کیونگ‌داچ (۲۰۰۱) با استفاده از سیستم اطلاعات جغرافیایی و روش آماری چند متغیره اقدام به پهنه‌بندی و ایجاد نقشه حساسیت خطر زمین‌لغزش در منطقه یانگین نموده‌اند. در این مطالعه که از لایه‌های اطلاعاتی شیب، جهت شیب، ضخامت خاک، فاصله از آبراه، کاربری اراضی و پوشش گیاهی استفاده شده است، نتایج نشان می‌دهد که روش آماری از دقت بالایی برخوردار است؛ بوی و همکاران (۲۰۱۲) به پیش‌بینی خطر زمین‌لغزش در استان هوابین ویتنام با استفاده از عملگرهای منطق‌فازی پرداختند. در این تحقیق از عواملی مانند شیب، جهت شیب، سنگ‌شناسی، کاربری اراضی، نوع خاک و فاصله از عوامل خطی جاده، گسل و رودخانه استفاده شده است. نتایج به دست آمده نشان داد که تمام عملگرها نتایج معقولی در پیش‌بینی خطر زمین‌لغزش ارائه می‌دهند که از این میان عملگر جمع‌فازی کمترین دقت و عملگر ضرب و گاما از بیشترین دقت برخوردار بوده است؛ آنبالاگان و همکاران (۲۰۱۵) با استفاده از نسبت فراوانی و منطق‌فازی به پهنه‌بندی خطر زمین‌لغزش در دره لاچونگ واقع در منطقه سیکیم هیمالیا پرداختند. در این تحقیق آن‌ها با استفاده از مدل آماری نسبت فراوانی تابع عضویت فازی را استخراج و با استفاده از منطق‌فازی نقشه هریک از عوامل را همپوشانی دادند. بر اساس نتایج به دست آمده، منطق‌فازی از کارایی بالایی در پهنه‌بندی خطر زمین‌لغزش برخوردار بوده است.

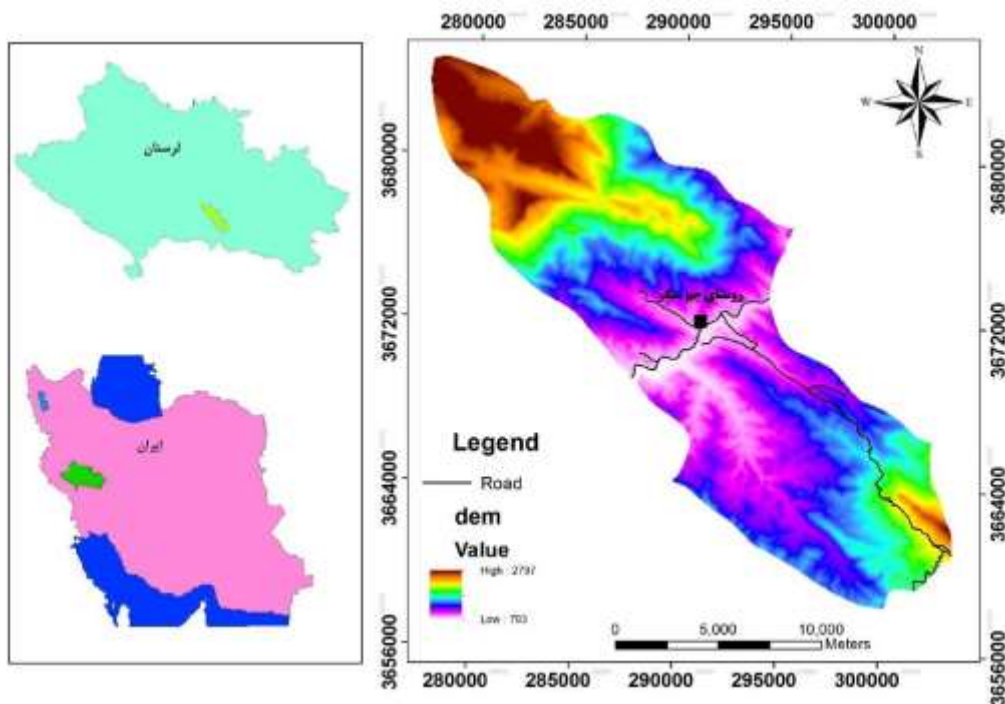
استان لرستان به دلیل خصوصیات متنوع زمین‌شناسی نظیر لیتولوژی، تکتونیک، لرزه‌خیزی و شرایط خاص آب و هوایی، از جمله مناطق دارای پتانسیل لغزش است. با توجه به موقعیت جغرافیایی حوضه چم‌سنگر تاکنون زمین‌لغزش‌های متعددی در این منطقه رخ داده است و این لغزش‌ها می‌تواند باعث ایجاد خسارت‌هایی در سطح حوضه شود. از جمله این خسارت‌ها که ضرورت این مطالعه را نمایان می‌سازد می‌توان به از بین رفتن زمین‌های زراعی، تخریب اراضی جنگلی و مرتعی، افزایش بار رسوبی رودخانه منطقه، فرسایش خاک و ... اشاره کرد؛ لذا این تحقیق با هدف ارزیابی مدل‌های پهنه‌بندی خطر زمین‌لغزش شامل مدل منطق‌فازی، تراکم سطح و ارزش اطلاعاتی، در حوضه چم‌سنگر صورت گرفته است.

## داده ها و روش کار

## موقعیت جغرافیایی

حوضه چم سنگر از توابع بخش پاپی با مساحت ۲۶۲/۸۱ کیلومترمربع در جنوب شرق شهر خرم آباد واقع شده است (شکل ۱). بلندترین نقطه ارتفاعی این حوضه از سطح دریا ۲۷۰۷ متر و پست‌ترین نقطه ۷۹۳ متر می‌باشد و از دیدگاه زمین‌ساختی گستره مورد بررسی در پهنه زاگرس چین‌خورده قرار می‌گیرد.

بطور کلی حوضه چم‌سنگر از لیتولوژی متنوعی برخوردار بوده که تاثیر بسزایی در ایجاد لغزش‌های منطقه دارا می‌باشد. از نظر لیتولوژی منطقه مورد مطالعه از واحدهای ذخایر تراستی و مخروطه افکنه های کوهپایه ای جدید کم ارتفاع (Qft2)، سنگ های تفکیک نشده سازندهای شهبازان و آسماری (EMas-sb)، سنگ آهک و مارن سازند پابده (pd)، کنگلومرای قرمز، ماسه سنگ و سیلتستون سازند کشکان (EKn)، سنگ‌های تفکیک نشده سازندهای پابده و گورپی (KEpd-gu) و گروه بنگستان شامل آهک و شیل (Kbgp) تشکیل شده است.



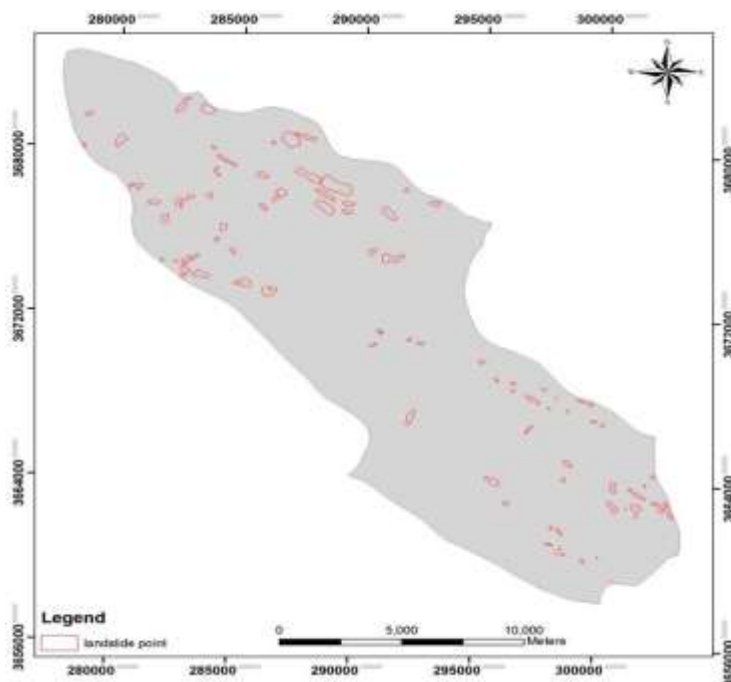
شکل (۱). موقعیت جغرافیایی حوضه چم سنگر

## روش کار

## لایه‌های اطلاعاتی استفاده شده

اولین گام در تهیه نقشه پهنه‌بندی خطر زمین لغزش، تهیه نقشه پراکنش زمین لغزش‌های اتفاق افتاده در منطقه می‌باشد. این نقشه مبنای تصمیم‌گیری‌های بعدی است. برای تهیه نقشه پراکنش زمین لغزش با استفاده از عکس‌های هوایی، تصاویر ماهواره‌ای منطقه، تصاویر گوگل ارث لغزش‌های اتفاق افتاده و مناطق مشکوک به لغزش در منطقه شناسایی شدند و برای تکمیل اطلاعات و ثبت لغزش‌های جدید، بازدید صحرایی انجام شده و تمامی لغزش‌های قابل دسترس مورد بازدید صحرایی قرار گرفت و نقشه پراکنش لغزش‌ها تهیه گردید (شکل ۲).

فرآیند پهنه‌بندی در محیط (GIS) شامل پیش‌عملیات و عملیات متعددی است. نخست باید معیارها و محدودیت‌های مورد نظر به صورت لایه‌های نقشه؛ انتخاب و آماده‌سازی شده و سپس در محیط نرم‌افزار GIS پردازش گردند. در این پژوهش برای پهنه‌بندی خطر زمین لغزش از ۸ عامل استفاده شده است. این عوامل شامل لایه‌های شیب، جهت شیب، ارتفاع، زمین‌شناسی، بارندگی، کاربری اراضی، فاصله از جاده و آبراهه می‌باشند.



شکل (۲). نقشه پراکنش لغزش‌های حوضه چم‌سنگر

### پهنه‌بندی خطر زمین لغزش در حوضه چم سنگر پهنه‌بندی خطر زمین لغزش با استفاده از مدل فازی

در این تحقیق به منظور پهنه بندی خطر زمین لغزش در حوضه چم سنگر بعد از مرحله پردازش داده‌ها که شامل طبقه‌بندی داده‌ها و استخراج نقشه‌های مشتق شده از لایه‌های مختلف است برای تعیین نسبت فراوانی هر یک از طبقات عوامل موثر بر وقوع زمین لغزش، ابتدا با استفاده از سامانه اطلاعات جغرافیایی درصد پیکسل‌های لغزشی و فاقد لغزش منطقه مورد مطالعه تعیین و سپس نسبت فراوانی برای هر یک از طبقه‌های عوامل از تقسیم نسبت درصد پیکسل‌های لغزشی به درصد پیکسل‌های غیر لغزشی محاسبه گردید. جهت تولید نقشه‌های فازی با نرمال سازی نسبت‌های فراوانی محاسبه شده، با استفاده از تابع عضویت Fuzzy Gaussian، Fuzzy large و Fuzzy Small در محیط نرم افزار ArcGIS 10، نقشه‌های عوامل مختلف به نقشه‌های فازی تبدیل شده‌اند. برای به دست آوردن تابع عضویت هیچ الگوریتم مشخصی وجود ندارد بلکه تجربه، نوآوری و حتی اعمال نظر شخصی در شکل گیری و تعریف تابع عضویت می‌تواند موثر باشد. بدیهی است چنانچه تابع عضویت سازگار و مطابق با واقعیت‌های حاکم بر سیستم تحت بررسی تعریف نشود و عوامل اصلی موثر را نادیده بگیرد مدل حاصل از آن؛ فاقد توانایی‌های لازم برای انعکاس همه واقعیت‌ها خواهد بود. بعد از تعریف تابع عضویت با استفاده از عملگر گاما نقشه‌های فازی تهیه شده همپوشانی داده شده‌اند و نقشه خطر لغزش در منطقه چم سنگر با استفاده از این عملگر تهیه شده است.

### پهنه‌بندی خطر زمین لغزش به روش ارزش اطلاعاتی

در روش ارزش اطلاعاتی نرخ مربوط به هر کلاس از عوامل موثر از رابطه ۱ به دست می‌آید (Yin and Yan, 1988؛ شیرانی و سیف، ۱۳۹۱: ۱۵۰).

$$W_{Inf} = \ln \left[ \left( \frac{A}{B} \right) / \left( \frac{C}{D} \right) \right] \quad \text{رابطه (۱)}$$

$W_{Inf}$  = وزن ارزش اطلاعاتی؛  $A$  = مساحت زمین لغزش در کلاس متغیر؛  $B$  = مساحت کلاس متغیر؛  $C$  = مساحت کل زمین لغزش‌ها؛  $D$  = مساحت کل حوضه؛ پس از تعیین وزن مربوط به هر کلاس از عوامل موثر بر لغزش، با روی هم انداختن و جمع ارزش پیکسل‌های عوامل مختلف، نقشه پهنه‌بندی به روش ارزش اطلاعاتی تهیه می‌گردد.

## پهنه‌بندی خطر زمین لغزش به روش تراکم سطح

نرخ مربوط به هر یک از کلاسه‌های عوامل مختلف در این روش از رابطه ۲ به دست می‌آید (Lee and kyungduck, 2001؛ شیرانی و سیف، ۱۳۹۱: ۱۵۱).

$$W_{area} = 1000\left(\frac{A}{B}\right) - 1000\left(\frac{C}{D}\right) \quad \text{رابطه (۲)}$$

$W_{area}$  = وزن تراکم سطح؛ در این روش نیز بعد از تهیه نرخ‌های مربوط به کلاسه‌های عوامل مختلف، نقشه پهنه‌بندی با جمع بستن ارزش پیکسل‌های عوامل مختلف و طبقه‌بندی آن در سامانه اطلاعات جغرافیایی تهیه می‌گردد.

## نتایج

به منظور ارزیابی روش‌های پهنه‌بندی خطر زمین لغزش در حوضه چم‌سنگر ابتدا پراکندگی نقاط لغزشی نسبت به ۸ عامل موثر در وقوع زمین لغزش در محیط نرم افزار Arc GIS مورد بررسی قرار گرفته است. سپس نسبت فراوانی برای هر یک از طبقه‌های عوامل از تقسیم نسبت درصد پیکسل‌های لغزشی به درصد پیکسل‌های غیر لغزشی محاسبه گردید (جدول ۱) (در این تحقیق سطح منطقه به پیکسل‌هایی با ابعاد ۵۰\*۵۰ متر تقسیم شده است). برای پهنه‌بندی خطر زمین لغزش در حوضه چم‌سنگر با استفاده از منطق فازی از عملگر گامای فازی استفاده شده است. این عملگر بر حسب حاصل ضرب جبر فازی و حاصل جمع جبری فازی به صورت زیر تعریف می‌شود (Tanaka, 1996):

رابطه (۳)

$$\mu_{\text{Combination}} = (\text{Fuzzy A lg . Sum})^y * (\text{Fuzzy A lg . Pr oduct})^{1-y}$$

که در آن  $y$  پارامتر انتخاب شده در محدوده (۰ و ۱) است. وقتی  $y$  برابر ۱ باشد ترکیب همان جمع جبری فازی خواهد بود و وقتی  $y=0$  باشد ترکیب اصلی برابر با حاصل ضرب جبری فازی است. انتخاب صحیح و آگاهانه  $y$  بین صفر و یک مقادیری را در خروجی به وجود می‌آورد که نشان دهنده سازگاری قابل انعطاف میان گرایش‌های کاهشی و افزایشی دو عملگر جمع و ضرب فازی می‌باشند. نتایج به دست آمده از این عملگر نسبت به سایر عملگرها از دقت بیشتری برخوردار می‌باشد. در این تحقیق از عملگر گامای ۰/۹ به منظور پهنه‌بندی خطر زمین لغزش در حوضه مورد مطالعه استفاده شده است (شکل ۳) (جدول ۲). نقشه تهیه شده با استفاده از مدل منطق فازی نشان می‌دهد که بیشترین حساسیت نسبت به لغزش در جنوب شرق منطقه واقع گردیده است.

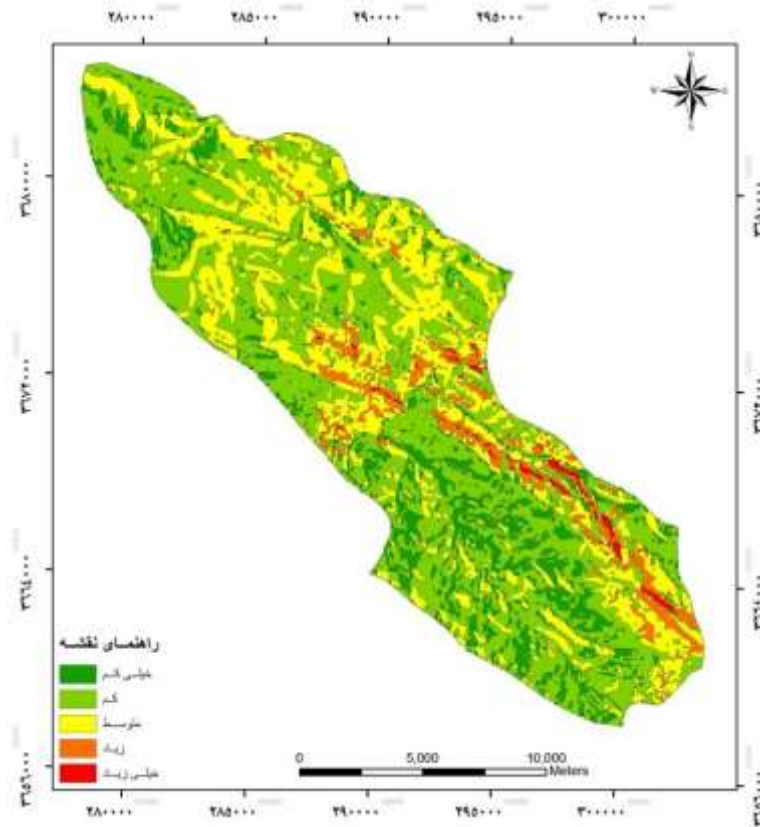
جدول (۱). نسبت فراوانی هر یک از عوامل موثر بر لغزش در حوضه چم سنگر

| عامل       | کلاس        | درصد پیکسل لغزشی | درصد پیکسل غیر لغزشی | نسبت فراوانی | مقدار نرمال سازی شده |
|------------|-------------|------------------|----------------------|--------------|----------------------|
| شیب        | ۰-۵         | ۰/۵۱۳            | ۳/۶۳                 | ۰/۱۴۱        | ۰/۰۱۳                |
|            | ۵-۱۵        | ۹/۴              | ۳۴/۹                 | ۰/۲۶۹        | ۰/۰۲۵                |
|            | ۱۵-۲۵       | ۳۴/۸۴            | ۴۳/۹۹                | ۰/۷۹۲        | ۰/۰۷۴                |
|            | ۲۵-۳۵       | ۳۸/۳۲            | ۱۵/۲۷                | ۲/۵          | ۰/۲۳۵                |
|            | ۳۵-۴۵       | ۱۴/۹۷            | ۲/۰۱                 | ۷/۴۴         | ۰/۶۹۹                |
|            | >۴۵         | ۱/۹۳             | ۰/۱۸۲                | ۱۰/۶۴        | ۱                    |
| جهت شیب    | ۰-۲۲/۵      | ۱۴/۸۵            | ۸/۲۱                 | ۱/۸          | ۱                    |
|            | ۲۲/۵-۶۷/۵   | ۲۸/۰۹            | ۱۵/۹۲                | ۱/۷۶         | ۰/۹۷۵                |
|            | ۶۷/۵-۱۱۲/۵  | ۱۲/۹۹            | ۹/۷۲                 | ۱/۳۳         | ۰/۷۴                 |
|            | ۱۱۲/۵-۱۵۷/۵ | ۱۱/۷۳            | ۹/۷۱                 | ۱/۲          | ۰/۶۶۷                |
|            | ۱۵۷/۵-۲۰۲/۵ | ۱۳/۱۹            | ۱۵/۳۶                | ۰/۸۶         | ۰/۴۷۵                |
|            | ۲۰۲/۵-۲۴۷/۵ | ۱۱/۴۵            | ۱۸/۵۸                | ۰/۶۱         | ۰/۳۴                 |
|            | ۲۴۷/۵-۲۹۲/۵ | ۳/۰۰۲            | ۹/۶۲                 | ۰/۳۱         | ۰/۱۷۲                |
|            | ۲۹۲/۵-۳۳۷/۵ | ۱/۷۷             | ۷/۷۴                 | ۰/۲۳         | ۰/۱۲۶                |
| ۳۳۷/۵-۳۶۰  | ۲/۸۸        | ۵/۱              | ۰/۵۶                 | ۰/۳۱۲        |                      |
| زمین شناسی | Qft2        | ۱۶/۲۸            | ۱۲/۶۱                | ۱/۲۹         | ۰/۸۴۲                |
|            | EMas-sb     | ۴۲/۶۷            | ۳۳/۲۵                | ۱/۲۸         | ۰/۸۳۷                |
|            | pd          | ۱۶/۲۸            | ۱۰/۶۲                | ۱/۵۳         | ۱                    |
|            | EKn         | ۲۴/۷۶            | ۳۹/۰۳                | ۰/۶۳         | ۰/۴۱۳                |
|            | KEpd-gu     | .                | ۰/۰۱                 | .            | .                    |
|            | Kbgp        | .                | ۴/۴۶                 | .            | .                    |
| ارتفاع     | ۷۹۳-۱۱۰۰    | ۴/۷              | ۲۱/۱۱                | ۰/۲۲         | ۰/۰۹۱                |
|            | ۱۱۰۰-۱۴۰۰   | ۱۴/۸۹            | ۳۱/۵۴                | ۰/۴۷         | ۰/۱۹۴                |
|            | ۱۴۰۰-۱۷۰۰   | ۲۵/۴۴            | ۱۷/۴۳                | ۱/۴۶         | ۰/۶۰۱                |



|              |                 |       |       |      |       |
|--------------|-----------------|-------|-------|------|-------|
|              | ۱۷۰۰-۲۰۰۰       | ۲۲/۴۴ | ۹/۹۶  | ۲/۲۵ | ۰/۹۲۷ |
|              | ۲۰۰۰-۲۳۰۰       | ۲۰/۹۸ | ۸/۴   | ۲/۴۲ | ۱     |
|              | ۲۳۰۰-۲۶۰۰       | ۱۱/۵۳ | ۹/۰۳  | ۱/۲۷ | ۰/۵۲۵ |
|              | >۲۶۰۰           | ۰     | ۲/۲۸  | ۰    | ۰     |
| کاربری اراضی | اراضی زراعی     | ۰/۶۵  | ۲/۰۲  | ۰/۳۲ | ۰/۲۷۱ |
|              | اراضی جنگلی     | ۱۵/۴۱ | ۲۱/۸۶ | ۰/۷  | ۰/۵۹۵ |
|              | فاقد پوشش گیاهی | ۴/۳۴  | ۳/۶۶  | ۱/۱۸ | ۱     |
|              | اراضی مرتعی     | ۷۹/۵۸ | ۷۲/۴۴ | ۱/۰۹ | ۰/۹۲۷ |
| آبراهه       | ۰-۳۰۰           | ۳۷/۵۳ | ۳۶/۴۹ | ۱/۰۲ | ۰/۸۷۷ |
|              | ۳۰۰-۶۰۰         | ۲۸/۴۴ | ۲۴/۲۷ | ۱/۱۷ | ۱     |
|              | ۶۰۰-۹۰۰         | ۱۶/۲۴ | ۱۷/۶۶ | ۰/۹۲ | ۰/۷۸۵ |
|              | ۹۰۰-۱۲۰۰        | ۹/۵۶  | ۱۰/۶۷ | ۰/۸۹ | ۰/۷۶۴ |
|              | >۱۲۰۰           | ۸/۲۲  | ۱۰/۹  | ۰/۷۵ | ۰/۶۴۳ |
| جاده         | ۰-۳۰۰           | ۵/۸۲  | ۹/۳۳  | ۰/۶۲ | ۰/۵۳۷ |
|              | ۳۰۰-۶۰۰         | ۳/۳۸  | ۶/۵۳  | ۰/۵۱ | ۰/۴۴۶ |
|              | ۶۰۰-۹۰۰         | ۲/۶۷  | ۶/۲۳  | ۰/۴۲ | ۰/۳۶۹ |
|              | ۹۰۰-۱۲۰۰        | ۴/۰۱  | ۵/۴۴  | ۰/۷۳ | ۰/۶۳۴ |
|              | >۱۲۰۰           | ۸۴/۱  | ۷۲/۴۵ | ۱/۱۶ | ۱     |
| بارندگی      | ۳۸۳-۴۰۳         | ۱۰/۳۹ | ۱۰/۷۸ | ۰/۹۶ | ۰/۴۱۳ |
|              | ۴۰۳-۴۲۳         | ۳۳/۱۰ | ۱۴/۲۰ | ۲/۳۳ | ۱     |
|              | ۴۲۳-۴۴۳         | ۳۹/۳۹ | ۲۶/۲۲ | ۱/۵۰ | ۰/۶۴۴ |
|              | ۴۴۳-۴۴۶         | ۱۷/۱۰ | ۴۸/۷۸ | ۰/۳۵ | ۰/۱۵۰ |

ادامه جدول (۱)



شکل (۳). نقشه پهنه بندی خطر زمین لغزش بر اساس عملگر گامای فازی

جدول (۲). نتایج به دست آمده از پهنه بندی خطر زمین لغزش در حوضه چم سنگر با استفاده از

عملگر گامای فازی

| درصد مساحت | کلاس خطر  | مدل استفاده شده |
|------------|-----------|-----------------|
| ۱۳/۳۹      | خیلی کم   | گامای فازی      |
| ۴۷/۵۸      | کم        |                 |
| ۳۲/۷       | متوسط     |                 |
| ۵/۴۴       | زیاد      |                 |
| ۰/۸۸۴      | خیلی زیاد |                 |

ارزیابی مدل‌های پیش‌بینی خطر زمین لغزش در حوضه چم‌سنگر ۵۵

در روش‌های ارزش اطلاعاتی و تراکم سطح نرخ مربوط به هر کلاس از عوامل به ترتیب از روابط ۱ و ۲ به دست می‌آید. نتایج مربوط به کلاسه‌های عوامل مختلف در جداول ۳ تا ۱۰ آورده شده است.

نتایج بررسی کلاس‌های شیب منطقه بر اساس مدل ارزش اطلاعاتی و تراکم سطح نشان می‌دهد بیشترین حساسیت نسبت به زمین‌لغزش‌های رخ داده در منطقه در شیب بیشتر از ۴۵ درجه اتفاق افتاده است (جدول ۳). این امر حاکی از آن است که در شیب‌های بالا به دلیل افزایش نیروی ثقل شاهد زمین‌لغزش‌هایی از نوع ریزش سنگی هستیم.

جدول (۳). نتایج به دست آمده از بررسی عامل شیب

| وزن مدل تراکم سطح | وزن مدل ارزش اطلاعاتی | تعداد پیکسل‌های لغزشی در هر کلاس | تعداد پیکسل‌های هر کلاس | رده کلاس |
|-------------------|-----------------------|----------------------------------|-------------------------|----------|
| -۲۰/۶۶            | -۱/۹۳                 | ۱۳                               | ۳۷۲۶                    | ۵-۰      |
| -۱۷/۵۳            | -۱/۲۹                 | ۲۳۸                              | ۳۵۹۳۵                   | ۱۵-۵     |
| -۴/۹۲             | -۰/۲۲                 | ۸۸۲                              | ۴۵۸۶۸                   | ۲۵-۱۵    |
| ۳۴/۳              | ۰/۸۸                  | ۹۷۰                              | ۱۶۵۹۲                   | ۳۵-۲۵    |
| ۱۳۱/۴۹            | ۱/۸۶                  | ۳۷۹                              | ۲۴۳۵                    | ۴۵-۳۵    |
| ۱۸۴/۳۵            | ۲/۱۵                  | ۴۹                               | ۲۳۵                     | ۴۵<      |

بررسی نتایج به دست آمده از لیتولوژی منطقه نشان می‌دهد که سازند پابده به دلیل استعداد بالای لیتولوژی مارن به جذب آب و منبسط شدن از بیشترین حساسیت در مقابل لغزش برخوردار است (جدول ۴).

جدول (۴). نتایج به دست آمده از بررسی عامل زمین‌شناسی (لیتولوژی)

| وزن مدل تراکم سطح | وزن مدل ارزش اطلاعاتی | تعداد پیکسل‌های لغزشی در هر کلاس | تعداد پیکسل‌های هر کلاس | رده کلاس |
|-------------------|-----------------------|----------------------------------|-------------------------|----------|
| ۶/۷۷              | ۰/۲۴                  | ۴۱۲                              | ۱۳۳۲۳                   | EMas-sb  |
| ۶/۶۵              | ۰/۲۴                  | ۱۰۸۰                             | ۳۵۰۵۶                   | EKn      |
| ۱۲/۴۳             | ۰/۴۱                  | ۴۱۲                              | ۱۱۲۶۲                   | pd       |
| -۸/۷              | -۰/۴۴                 | ۶۲۷                              | ۴۰۵۸۴                   | KEpd-gu  |
| -۲۴/۱۵            | invalid               | ۰                                | ۱۰۲۳                    | Kbgp     |
| -۲۴/۱۵            | invalid               | ۰                                | ۳۵۴۳                    | Qft2     |

نتایج به دست آمده از بررسی نقشه پراکندگی زمین لغزش‌ها نسبت به آبراهه نشان داد که در اثر فرسایش کنار رودخانه‌ای و بر هم زدن تعادل شیب، بیشترین حساسیت به لغزش در طبقات نزدیک به شبکه آبراهه وجود دارد (جدول ۵).

جدول (۵). نتایج به دست آمده از بررسی عامل فاصله از آبراهه

| رده کلاس | تعداد پیکسل‌های هر کلاس | تعداد پیکسل‌های لغزشی در هر کلاس | وزن مدل ارزش اطلاعاتی | وزن مدل تراکم سطح |
|----------|-------------------------|----------------------------------|-----------------------|-------------------|
| ۳۰۰-۰    | ۳۸۲۸۰                   | ۹۵۰                              | ۰/۰۲۷                 | ۰/۶۶              |
| ۶۰۰-۳۰۰  | ۲۵۵۴۲                   | ۷۲۰                              | ۰/۱۵                  | ۴/۰۳              |
| ۹۰۰-۶۰۰  | ۱۸۴۳۵                   | ۴۱۱                              | -۰/۰۸                 | -۱/۸۶             |
| ۱۲۰۰-۹۰۰ | ۱۱۱۴۱                   | ۲۴۲                              | -۰/۱                  | -۲/۴۳             |
| ۱۲۰۰<    | ۱۱۳۹۳                   | ۲۰۸                              | -۰/۲۸                 | -۵/۸۹             |

نتایج به دست آمده از کاربری اراضی نشان می‌دهد که بیشترین حساسیت به لغزش در اراضی فاقد پوشش گیاهی و اراضی مرتعی وجود دارد (جدول ۶). در مورد اراضی مرتعی با توجه به چرای دام‌ها در سطح این کاربری این موضوع قابل تفسیر می‌باشد.

جدول (۶). نتایج به دست آمده از بررسی عامل کاربری اراضی

| رده کلاس        | تعداد پیکسل‌های هر کلاس | تعداد پیکسل‌های لغزشی در هر کلاس | وزن مدل ارزش اطلاعاتی | وزن مدل تراکم سطح |
|-----------------|-------------------------|----------------------------------|-----------------------|-------------------|
| اراضی زراعی     | ۲۱۲۷                    | ۱۶                               | -۱/۱۶                 | -۱۶/۶۳            |
| اراضی جنگلی     | ۲۲۷۵۳                   | ۳۹۰                              | -۰/۳۴                 | -۷/۰۱             |
| فاقد پوشش گیاهی | ۳۸۴۴                    | ۱۱۰                              | ۰/۱۷                  | ۴/۴۶              |
| اراضی مرتعی     | ۷۶۰۶۷                   | ۲۰۱۵                             | ۰/۰۹                  | ۲/۳۳              |

در بررسی عامل بارش نتایج دور از انتظار بود و در کلاس با بیشترین بارندگی کمترین حساسیت نسبت به لغزش وجود داشت (جدول ۷) که علت آن را می‌توان به کم‌رنگ بودن نقش سایر عوامل در ایجاد لغزش‌های منطقه در این واحد نسبت داد.

ارزیابی مدل‌های پیش‌بینی خطر زمین لغزش در حوضه چم‌سنگر ۵۷

جدول (۷). نتایج به‌دست آمده از بررسی عامل بارندگی

| وزن مدل تراکم سطح | وزن مدل ارزش اطلاعاتی | تعداد پیکسل‌های لغزشی در هر کلاس | تعداد پیکسل‌های هر کلاس | رده کلاس |
|-------------------|-----------------------|----------------------------------|-------------------------|----------|
| -۰/۸۵             | -۰/۰۳۶                | ۲۶۳                              | ۱۱۲۹۰                   | ۴۰۳-۳۸۳  |
| ۳۰/۴              | ۰/۸۱                  | ۸۳۸                              | ۱۵۳۵۹                   | ۴۲۳-۴۰۳  |
| ۱۱/۶۸             | ۰/۳۹                  | ۹۹۷                              | ۲۷۸۱۸                   | ۴۴۳-۴۲۳  |
| -۱۵/۵۴            | -۱/۰۳                 | ۴۳۳                              | ۵۰۳۲۴                   | ۴۶۶-۴۴۳  |

مطالعات جهت شیب بیشترین تاثیر را در جهت شمال نشان می‌دهد (جدول ۸) که نشان دهنده تاثیر رطوبت و حرارت خاک در ایجاد لغزش در این حوضه می‌باشد. زیرا در جهت‌های شمالی به دلیل آفتاب‌گیری کمتر، حرارت و تبخیر کمتری داشته و عامل رطوبت خود به فرسایش بیشتر و افزایش فشار منفذی که زمینه‌ساز لغزش هستند کمک می‌نماید.

جدول (۸). نتایج به‌دست آمده از بررسی عامل جهت شیب دامنه

| وزن مدل تراکم سطح | وزن مدل ارزش اطلاعاتی | تعداد پیکسل‌های لغزشی در هر کلاس | تعداد پیکسل‌های هر کلاس | رده کلاس    |
|-------------------|-----------------------|----------------------------------|-------------------------|-------------|
| ۱۸/۶۹             | ۰/۵۷                  | ۳۷۶                              | ۸۷۷۶                    | ۲۲/۵-۰      |
| ۱۷/۶۸             | ۰/۵۵                  | ۷۱۱                              | ۱۶۹۹۶                   | ۶۷/۵-۲۲/۵   |
| ۷/۸۸              | ۰/۲۸                  | ۳۲۹                              | ۱۰۲۷۱                   | ۱۱۲/۵-۶۷/۵  |
| ۴/۸۷              | ۰/۱۸                  | ۲۹۷                              | ۱۰۲۳۱                   | ۱۵۷/۵-۱۱۲/۵ |
| -۳/۳۳             | -۰/۱۴                 | ۳۳۴                              | ۱۶۰۴۲                   | ۲۰۲/۵-۱۵۷/۵ |
| -۹/۱۲             | -۰/۴۷                 | ۲۹۰                              | ۱۹۲۹۵                   | ۲۴۷/۵-۲۰۲/۵ |
| -۱۶/۴۹            | -۱/۱۴                 | ۷۶                               | ۹۹۲۱                    | ۲۹۲/۵-۲۴۷/۵ |
| -۱۸/۵             | -۱/۴۵                 | ۴۵                               | ۷۹۶۸                    | ۳۳۷/۵-۲۹۲/۵ |
| -۱۰/۳۵            | -۰/۵۶                 | ۷۳                               | ۵۲۹۱                    | ۳۶۰-۳۳۷/۵   |

بررسی طبقات ارتفاعی نشان می‌دهد که بیشترین وزن به کلاس ۲۳۰۰-۲۰۰۰ متر تعلق دارد (جدول ۹) و با افزایش ارتفاع به دلیل مقاوم بودن لیتولوژی منطقه به لغزش، این مقدار کاهش می‌یابد.

جدول (۹). نتایج به دست آمده از بررسی عامل طبقات ارتفاعی

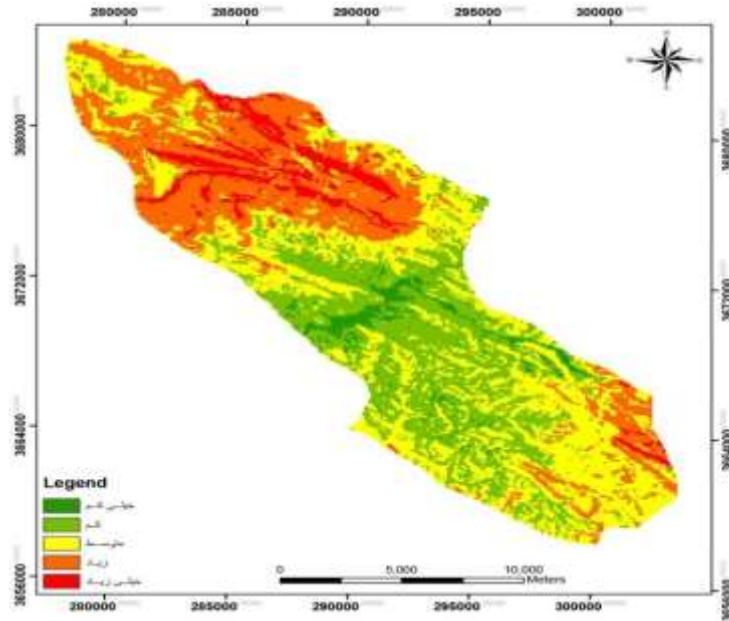
| رده کلاس  | تعداد پیکسل‌های هر کلاس | تعداد پیکسل‌های لغزشی در هر کلاس | وزن مدل ارزش اطلاعاتی | وزن مدل تراکم سطح |
|-----------|-------------------------|----------------------------------|-----------------------|-------------------|
| ۱۱۰۰-۷۹۳  | ۲۱۷۱۱                   | ۱۱۹                              | -۱/۴۸                 | -۱۸/۶۷            |
| ۱۴۰۰-۱۱۰۰ | ۳۲۶۲۸                   | ۳۷۷                              | -۰/۷۳                 | -۱۲/۵۹            |
| ۱۷۰۰-۱۴۰۰ | ۱۸۴۶۷                   | ۶۴۴                              | ۰/۳۶                  | ۱۰/۷۲             |
| ۲۰۰۰-۱۷۰۰ | ۱۰۷۵۴                   | ۵۶۸                              | ۰/۷۸                  | ۲۸/۶۶             |
| ۲۳۰۰-۲۰۰۰ | ۹۳۶۶                    | ۵۳۱                              | ۰/۸۵                  | ۳۲/۵۴             |
| ۲۶۰۰-۲۳۰۰ | ۹۵۳۱                    | ۲۹۲                              | ۰/۲۳                  | ۶/۴۸              |
| ۲۶۰۰<     | ۲۳۳۴                    | .                                | invalid               | -۲۴/۱۵            |

نتایج به دست آمده از پراکندگی لغزش‌ها نسبت به جاده نشان می‌دهد که بیشترین حساسیت نسبت به لغزش در دورترین فاصله نسبت به جاده قرار دارد (جدول ۱۰). که تا حدودی نشان دهنده جاده‌سازی اصولی در سطح منطقه می‌باشد.

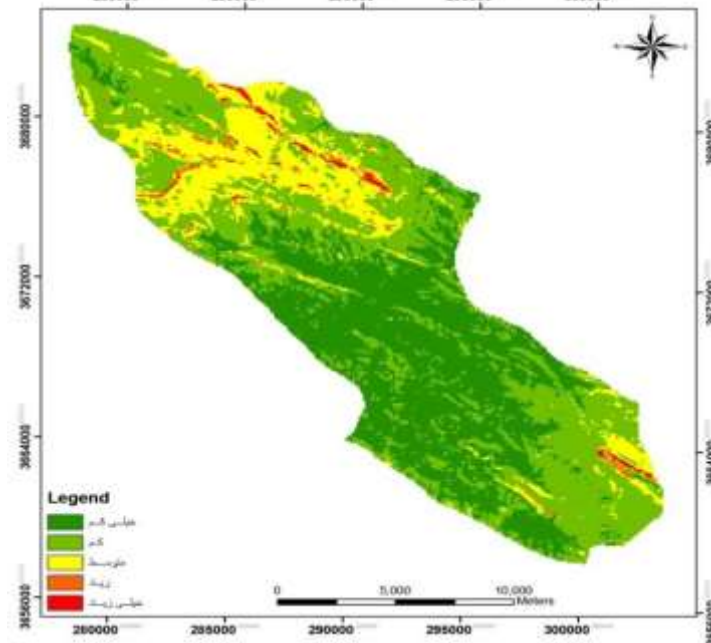
جدول (۱۰). نتایج به دست آمده از بررسی عامل فاصله از جاده

| رده کلاس | تعداد پیکسل‌های هر کلاس | تعداد پیکسل‌های لغزشی در هر کلاس | وزن مدل ارزش اطلاعاتی | وزن مدل تراکم سطح |
|----------|-------------------------|----------------------------------|-----------------------|-------------------|
| ۳۰۰-۰    | ۹۶۹۳                    | ۱۴۸                              | -۰/۴۵                 | -۸/۸۸             |
| ۶۰۰-۳۰۰  | ۶۷۶۲                    | ۸۶                               | -۰/۶۴                 | -۱۱/۴۳            |
| ۹۰۰-۶۰۰  | ۶۴۳۱                    | ۶۸                               | -۰/۸۲                 | -۱۳/۵۸            |
| ۱۲۰۰-۹۰۰ | ۵۶۷۹                    | ۱۰۲                              | -۰/۲۹                 | -۶/۱۹             |
| ۱۲۰۰<    | ۷۶۲۲۶                   | ۲۱۲۷                             | ۰/۱۴                  | ۳/۷۵              |

پس از بررسی لایه‌های اطلاعاتی موثر بر زمین‌لغزش‌های منطقه در نهایت بر اساس نرخ‌های به دست آمده از کلاسه‌های این عوامل، لایه‌های اطلاعاتی تهیه شده؛ و با هم‌پوشانی و جمع کردن ارزش پیکسل‌های برای عوامل مختلف، نقشه نهایی برای مدل ارزش اطلاعاتی (شکل ۴) (جدول ۱۱) و تراکم سطح (شکل ۵) (جدول ۱۱) به دست آمده است. بررسی نقشه‌های به دست آمده نشان می‌دهد که بیشترین مساحت منطقه با خطر لغزش بالا در قسمت شمال و شمال شرق حوضه واقع گردیده است و بیشترین مساحت منطقه با خطر لغزش پایین در قسمت‌های جنوبی و مرکزی حوضه قرار دارد.



شکل (۴). نقشه خطر زمین لغزش بر اساس مدل ارزش اطلاعاتی



شکل (۵). نقشه خطر زمین لغزش بر اساس مدل تراکم سطح

جدول (۱۱). نتایج به دست آمده از پهنه بندی خطر زمین لغزش در حوضه چم سنگر بر اساس مدل‌های

ارزش اطلاعاتی و تراکم سطح

| مدل استفاده شده | کلاس خطر  | درصد مساحت |
|-----------------|-----------|------------|
| ارزش اطلاعاتی   | خیلی کم   | ۳/۰۴       |
|                 | کم        | ۲۶/۹۳      |
|                 | متوسط     | ۳۶/۳۷      |
|                 | زیاد      | ۲۷/۸۷      |
|                 | خیلی زیاد | ۵/۷۹       |
| تراکم سطح       | خیلی کم   | ۳۶/۳۱      |
|                 | کم        | ۴۴/۷۸      |
|                 | متوسط     | ۱۶/۶۲      |
|                 | زیاد      | ۱/۶۵       |
|                 | خیلی زیاد | ۰/۶۳       |

### ارزیابی نتایج

روش‌های مختلفی برای ارزیابی مدل‌های پهنه بندی خطر زمین لغزش توسط محققین ارائه شده است، در این تحقیق برای ارزیابی و طبقه بندی نتایج خروجی مدل‌های مورد استفاده در برآورد خطر لغزش از شاخص جمع مطلوبیت (Qs) (رابطه ۴) استفاده شده است (Gee, 1992). نتایج نشان می‌دهد که مدل‌های آماری (تراکم سطح و ارزش اطلاعاتی) از کارآمدی بیشتری نسبت به مدل گامای فازی برخوردارند (جدول ۱۲).

$$Qs = \sum_{i=1}^n (Dr - 1)^2 * \%Area \quad \text{رابطه (۴)}$$

$$Dr = \frac{S_i}{\frac{\sum_{i=1}^n S_i}{\sum_{i=1}^n A_i}} \quad \text{رابطه (۵)}$$

Si: مساحت لغزش‌ها در هر کلاس خطر

Ai: مساحت کلاس i ام

n: تعداد کلاس‌ها



جدول (۱۲). نتایج به دست آمده از ارزیابی مدل‌های استفاده شده در پهنه‌بندی خطر زمین لغزش در

حوضه چم‌سنگر

| Qs    | Dr    | کلاس خطر  | مدل استفاده شده |
|-------|-------|-----------|-----------------|
| ۰/۵۵۴ | ۰/۱۵۶ | خیلی کم   | گامای فازی      |
|       | ۰/۵۰۹ | کم        |                 |
|       | ۱/۷۷  | متوسط     |                 |
|       | ۲/۶۴  | زیاد      |                 |
|       | ۱/۵۲  | خیلی زیاد |                 |
| ۱/۶۰  | ۰/۲۲۲ | خیلی کم   | ارزش اطلاعاتی   |
|       | ۰/۱۳۸ | کم        |                 |
|       | ۰/۴۹۹ | متوسط     |                 |
|       | ۱/۶۴  | زیاد      |                 |
|       | ۵/۵۵  | خیلی زیاد |                 |
| ۱/۸۵  | ۰/۱۷۷ | خیلی کم   | تراکم سطح       |
|       | ۰/۷۳۷ | کم        |                 |
|       | ۲/۶۲  | متوسط     |                 |
|       | ۶/۸۷  | زیاد      |                 |
|       | ۱۰/۸  | خیلی زیاد |                 |

نتیجه‌گیری

به منظور پهنه‌بندی خطر زمین‌لغزش در حوزه چم سنگر از مدل‌های فازی، تراکم سطح و ارزش اطلاعاتی استفاده گردید. بر این اساس ۸ عامل موثر در وقوع زمین‌لغزش شامل شیب، جهت شیب، ارتفاع، زمین‌شناسی، بارندگی، کاربری اراضی، فاصله از جاده و آبراهه مورد بررسی و وزن‌دهی قرار داده شد.

در تهیه نقشه خطر زمین‌لغزش با استفاده از مدل فازی در منطقه مورد مطالعه از توابع عضویت Fuzzy Gaussian، Fuzzy large و Fuzzy Small در محیط نرم افزار ArcGIS استفاده گردید و به منظور تلفیق لایه‌های به دست آمده از عملگر گامای فازی ۰/۹ استفاده شده است، این امر به این سبب می‌باشد که اپراتور فازی AND تقریباً تمام سطح منطقه را در کلاس کم خطر قرار داده و در مقابل اپراتور فازی OR منجر می‌شد که قسمت اعظم منطقه در کلاس خطر زیاد و خیلی زیاد قرار بگیرند و این به دلیل ماهیت و تشابه نوع عملکرد این عملگرهای فازی با منطق بولین است که در حالت بدبینانه (+) و در حالت کاملاً خوش بینانه

(۱) ظاهر می‌گردد. اپراتور جمع به دلیل اینکه در آن ارزش پیکسل‌ها به سمت ۱ میل می‌کند و اپراتور ضرب به دلیل ضرب تمام لایه‌ها و میل کردن اعداد خروجی به سمت صفر، به ترتیب باعث قرارگیری وسعت زیادی از منطقه در کلاس‌های بی‌خطر و خطر زیاد شده و نتایجی به دور از واقعیت و غیر قابل قبول ارائه می‌کنند. بنابراین در این پژوهش تنها از اپراتور گامای فازی استفاده شده است که تعادلی بین حساسیت بالای اپراتور ضرب و حساسیت پایین اپراتور جمع ایجاد می‌کند و نتایج حاصل، کلاس‌های مختلف خطر را با جدایش بهتری نشان می‌دهد و دقت نقشه خروجی بالاتر می‌رود.

در روش‌های ارزش اطلاعاتی و تراکم سطح؛ رابطه‌ی پارامترهای موثر در وقوع لغزش با پراکندگی زمین‌لغزش‌ها مورد سنجش و ارزیابی قرار گرفته است و با توجه به اینکه تمام تجزیه و تحلیل‌ها بر مبنای نقشه پراکنش لغزش‌ها صورت می‌گیرد این مدل‌ها از دقت بالایی برای پهنه‌بندی خطر لغزش برخوردارند.

ارزیابی نتایج به دست آمده از مدل‌های استفاده شده در حوضه چم‌سنگر با استفاده از شاخص جمع مطلوبیت (QS) به ترتیب نشان دهنده مطلوبیت عملکرد مدل‌های تراکم سطح، ارزش اطلاعاتی و مدل گامای فازی در پیش‌بینی خطر زمین لغزش در حوضه مورد مطالعه می‌باشد. این نتایج با نتایج به دست آمده از مطالعات شادفر و همکاران (۱۳۸۷ و ۱۳۹۰) هماهنگ بوده و با مطالعات فانپو (۲۰۰۷) و بهاروند و سوری (۱۳۹۴) که به ترتیب مدل ارزش اطلاعاتی و منطق فازی از کارایی بالاتری برخوردار بودند در تضاد می‌باشد. بر اساس پهنه‌بندی صورت گرفته با مدل تراکم سطح به ترتیب ۳۶/۳۱، ۴۴/۷۸، ۱۶/۶۲، ۱/۶۵، ۰/۶۳ درصد از مساحت منطقه در کلاس‌های خطر خیلی کم، کم، متوسط، زیاد و خیلی زیاد قرار گرفته است.

### تشکر و قدردانی

نویسندگان مقاله از حمایت‌های صمیمانه باشگاه پژوهشگران جوان و نخبگان واحد خرم‌آباد تقدیر و تشکر می‌نمایند.

## منابع و ماخذ

۱. بهاروند، سیامک و سوری، سلمان (۱۳۹۴). پهنه‌بندی خطر زمین‌لغزش با استفاده از منطق فازی و مدل تراکم سطح (مطالعه موردی حوضه کاکاشرف، جنوب شرقی خرم‌آباد)، نشریه زمین‌شناسی مهندسی، سال نهم، شماره چهار، صص ۳۱۱۲-۳۰۹۳.
۲. رنجبر، محسن و روغنی، پریسا (۱۳۸۸). پهنه بندی خطر زمین لغزش در شهرستان اردل با استفاده از روش تحلیل سلسله مراتبی (AHP)، فصل نامه جغرافیای چشم انداز زاگرس، سال اول، شماره دو، صص ۳۰-۲۱.
۳. سوری، سلمان؛ لشکری پور، غلامرضا؛ غفوری، محمد و فرهادی نژاد، طاهر (۱۳۹۰). پهنه‌بندی خطر زمین لغزش با استفاده از شبکه عصبی مصنوعی مطالعه موردی حوضه کشوری (نوزیان)، نشریه زمین شناسی مهندسی، سال پنجم، شماره دو، صص ۱۲۸۶-۱۲۶۹.
۴. شادفر، صمد؛ قدوسی، جمال؛ خلخالی، علی و کلارستانی، عطاله (۱۳۸۷). بررسی و ارزیابی روش‌های آماری دومتغیره و LNRF در پهنه‌بندی خطر زمین‌لغزش مطالعه موردی: حوضه آبخیز جنت رودبار، نشریه پژوهش و سازندگی، سال بیست و یک، شماره هفتاد و هشت، صص ۶۴-۵۶.
۵. شادفر، صمد؛ یمانی، مجتبی و نمکی، محمد (۱۳۹۰). پهنه‌بندی خطر زمین‌لغزش با استفاده از مدل‌های ارزش اطلاعاتی، تراکم سطح و LNRF در حوضه چالکرو، نشریه مهندسی و مدیریت آبخیز، سال سوم، شماره یک، صص ۴۷-۴۰.
۶. شیرانی، کورش و سیف، عبدالله (۱۳۹۱). پهنه‌بندی خطر زمین‌لغزش با استفاده از روش‌های آماری (منطقه پیشکوه، شهرستان فریدون‌شهر)، نشریه علوم زمین، سال بیست و دو، شماره هشتاد و پنج، صص ۱۵۸-۱۴۹.
۷. فاطمی عقدا، سید محمود؛ غیومیان، جعفر؛ تشنه لب، محمد و اشقلی فراهانی، عقیل (۱۳۸۴). بررسی خطر زمین لغزش با استفاده از منطق فازی (مطالعه موردی: منطقه رودبار)، مجله علوم دانشگاه تهران، سال سی و یک، شماره یک، صص ۶۴-۴۳.
۸. فرهادی نژاد، طاهر؛ شریعت جعفری، محسن؛ سوری، سلمان و ویسکرمی، ایرج (۱۳۸۹). ارزیابی مدل‌های پیش‌بینی خطر زمین لغزش در زیر حوضه سرخاب از واحدهای هیدرولوژیکی سد دز، مجله انجمن زمین‌شناسی ایران، سال سوم، شماره سه و چهار، صص ۳۲-۲۳.

Anbalagan, R., Kumar, R., Lakshmanan, K., Parida, S. & Neethu, S. (2015). *Landslide hazard zonation mapping using frequency ratio and fuzzy logic approach, a case study of Lachung Valley, Sikkim*, Geoenvironmental Disasters, Vol. 2(6), pp 1-17.

Bui, D.T., Pradhan, B., Lofman, O., Revhaug, I. & Dick, O. (2012). *Spatial prediction of landslide hazards in Hoa Binh province (Vietnam): A comparative assessment of the efficacy of evidential belief functions and fuzzy logic models*, CATENA, Vol. 96, pp 28–40.

Fanyu liu, Z. (2007). *Study on landslide susceptibility mapping based GIS and with bivariate statistics, a case study in Longnon Area Highway 212*, Science paper online.

Gee, M.D. (1992). *Classification of landslides hazard zoning methods and a test of predictive capability*, Bell, Davi H.(ed), Proceedings 6 th International Symposium on Landslids, pp 110-121.

Lee, S. & kyungduck, M. (2001). *Statistical analysis of landslide susceptibility at Yonging, Korea*, Enviromented geology, Vol. 40, pp 1095–1113.

Tanaka, K. (1996). *An Introduction to Fuzzy Logic for Practical Applications*, Springer New York, 148p.

Yin, K.J. & Yan, T.Z. (1988). *Statistical prediction model for slope instability of metamorphosed rocks*, Proceedings 5th International Symposium on Landslides, Lausanne, Switzerland, Vol. 2, pp 1269-1272.